

## بررسی ایمنی زایی آنتیزن PA63 به صورت آزاد و بارگذاری شده در نانوذرات PLGA در موش سوری

حسین هنری<sup>۱\*</sup>، محمد ابراهیم مینایی<sup>۱</sup>

دانشکده علوم پایه، دانشگاه جامع امام حسین (ع)، تهران، ایران

\*نویسنده مسئول: دانشکده علوم پایه، دانشگاه جامع امام حسین (ع)، تهران، ایران. ایمیل: honari.hosein@gmail.com

دریافت: ۱۴۰۳/۰۳/۱۲ پذیرش: ۱۴۰۲/۰۶/۲۹

### چکیده

**مقدمه:** تاکنون واکسن ایده‌الی برای بیماری سیاهزخم تایید نشده است. آنتیزن PA63 دارای خاصیت آنتیزنیک بوده و برای تولید نسل‌های جدید واکسن از این آنتیزن استفاده می‌کنند.

**اهداف:** هدف کلی این تحقیق، بررسی توان تولید آنتی‌بادی و ایمنی زایی آنتیزن نوترکیب PA63 بارگذاری شده در نانوذرات PLGA در موش سوری به عنوان کاندیدای واکسن احتمالی است.

**مواد و روش‌ها:** در این مطالعه تجربی، وکتور حاوی زن PA63 به درون باکتری DE3 BL21 *E.coli*، ترانسفورم و میزان بیان پروتئین آن به وسیله PAGE-SDS مورد ارزیابی قرار گرفت. پس از تخلیص پروتئین‌های نوترکیب با ستون کروماتوگرافی، پروتئین‌های نوترکیب در پلی مر PLGA بارگذاری شدند و جهت مطالعه ایمنی زایی در دو نوبت متوالی به موش‌ها تزریق شد. نتایج: اندازه و پتانسیل زتابی نانوذرات حاوی نانوذرات حاوی پروتئین PA63/۹ ۲۶۱/۹ نانومتر و ۳۴/۴-میلی‌ولت اندازه‌گیری شد. عکس‌های الکترونی گرفته شده از نانوذرات، نشان دهنده کروی بودن نانوذرات و صحت اندازه و پتانسیل زتابی نانوذرات بود. میانگین تیتر آنتی‌بادی تولیدی علیه پروتئین نوترکیب PA63 به صورت بارگذاری شده نسبت به آزاد، افزایش داشت.

**نتیجه‌گیری:** در این تحقیق با توجه به مزایای سیستم‌های نانوذرات در کاهش خطرات احتمالی پروتئینی و همچنین احتمال افزایش ایمنی زایی آن به عنوان سیستم‌های تحویل نوین واکسن‌های پروتئینی، از نانوذرات بر پایه پلیمرهای سنتزی حاوی پروتئین PA63 استفاده شد. نانوذرات PLGA با خصوصیات مختلف از نظر خواص فیزیکی و شیمیایی متفاوت، الگوی رهایش، نحوه سنتز و میزان بارگیری مورد مطالعه قرار گرفت تا بهترین شکل پلیمر برای بارگذاری پروتئین‌ها مشخص شود.

**وازگان کلیدی:** سیاهزخم، نانوذرات، PLGA، پروتئین نوترکیب، ایمنی زایی، واکسن

### ۱. مقدمه

تعیین کننده در بیماری زایی بوده و باکتری را در برابر هجوم مکروفاژهای میزان محافظت می‌کند. زن‌های توکسیک پلاسمید pXO1 سه پروتئین یا فاکتور مولد ادم (EF)، آنتیزن محافظت‌کننده (PA) و فاکتور مولد مرگ سلول (LF) را کد می‌کند<sup>(۱)</sup>. فاکتور EF یا عامل تورمزا باعث ایجاد ادم و همچنین اختلال در سیستم ایمنی میزان می‌شود. فاکتور LF یا عامل کشنده با از بین بردن مکروفاژها به علت خاصیت پروتئازی آن باعث مرگ می‌شود. آنتیزن PA یا عامل مصونیت‌زا عامل حمایت‌کننده است و دو فاکتور قلبی بدون اتصال به این فاکتور کارایی خود را از دست می‌دهند<sup>(۲)</sup>. آنتیزن PA پروتئینی با وزن مولکولی ۸۲۶۸۴ دالتون و متشکل از ۷۳۵ اسید آمینه است. همچنین ساختار کریستالی آن اندازه‌ای معادل نیم آنگستروم دارد. زن PA در جایگاه pag A بر روی پلاسمید pXO1 قرار داشته و دارای

سیاهزخم (Anthrax) یک بیماری مشترک بین انسان و Bacillus (anthracis) ایجاد می‌شود. این باکتری جزو خانواده باسیلاس است<sup>(۳)</sup>. از جمله مهم‌ترین باسیل‌های باسیلوس آنتراسیس بوده که در انسان و دام باعث بروز بیماری مهلک سیاهزخم می‌گردد<sup>(۴)</sup>. این باکتری به دلایل کشنده‌گی بسیار بالا، تولید و انتشار بسیار آسان و استفاده از آن به صورت تنفسی، گوارشی و پوستی یکی از بزرگ‌ترین و مهم‌ترین عوامل کشنده بیولوژیک به شمار رفته و پتانسیل استفاده در جنگ‌های بیولوژیک را دارد<sup>(۵)</sup>. باکتری باسیلوس آنتراسیس، علاوه بر یک DNA حلقوی به اندازه ۴/۵ مگاباز که به طور کامل تعیین ترادف شده است، دارای دو پلاسمید بزرگ pXO1 (شامل زن‌های توکسیک) و pXO2 (شامل زن‌های مولد کپسول) است<sup>(۶)</sup>. کپسول عامل

واکسن‌های نوین را مرتفع می‌کند. نانوبیوتکنولوژی نقش زیادی در پیشرفت واکسن‌ها داشته و فرصت طراحی نانوذراتی که در ترکیب، اندازه، شکل و خواص سطحی متفاوت بوده را برای کاربردهای پزشکی ارائه می‌دهد (۱۲). استفاده از نانوذرات علاوه بر رهایش آهسته آنتی‌زن در بدن، منجر به افزایش پایداری آنتی‌زن‌های ارائه شده به بدن نیز می‌شود. همچنین به دلیل مشابهت اندازه نانوذرات با اجزا سلولی، می‌توانند به راحتی با مکانیسم اندوسیستوز وارد سلول زنده شوند. همگرایی تکنولوژی پروتئین با نانوتکنولوژی، عصر مهمی در نانوبیوشکری را نوید می‌دهد.

## ۲. اهداف

در این تحقیق، به بررسی اثر آنتی‌زن PA63 به دو صورت آزاد و بارگذاری شده در نانوذره PLGA بر روی اینمی‌زایی موش سوری پرداخته شده است. واکسن‌های با اندازه نانو و سیستم‌های تحويل دارویی متمایز آن‌ها می‌توانند در پیشگیری از بیماری و درمان، نقش موثری داشته باشد.

## ۳. مواد و روشها

مطالعه حاضر از نوع تجربی بوده و روش گردآوری اطلاعات از نوع مطالعات کتابخانه‌ای و تجربیات آزمایشگاهی بود. لازم به ذکر است که تمام کارهای پژوهشی این مقاله با رعایت کامل اصول اخلاق (کد اخلاق: IR.IHU.REC.1399.065) انجام گرفته است.

### ۱.۱. انتقال پلاسمید به باکتری

برای تهیه سلول‌های مستعد (Competent cell)، سوش باکتری E. coli BL21-DE3 به مدت ۱۵ ساعت (کشت شبانه)، در پنج میلی‌لیتر محیط کشت LB مایع استریل، بدون آنتی‌بیوتیک رشد داده شد (درون شیکرانکوباتور با دمای ۳۷ درجه سانتی‌گراد و سرعت ۱۵۰ دور در دقیقه). از محیط کشت فوق ۵۰ میکرولیتر را به پنج میلی‌لیتر محیط کشت LB مایع استریل اضافه، درون شیکرانکوباتور با دمای ۳۷ درجه سانتی‌گراد و سرعت ۱۵۰ دور در دقیقه رشد داده شد تا جذب آن، در طول موج ۵۹۵ نانومتر به ۰/۴ تا ۰/۵ رسید. ارلن حاوی محیط کشت به مدت ۱۰ دقیقه در یخ قرار داده شد.

محیط کشت کنار شعله به لوله مخصوص سانتریفیوز (Falcon) منتقل داده و با سرعت دور ۴۰۰۰ به مدت پنج دقیقه در دمای چهار درجه سانتی‌گراد سانتریفیوز گردید. بعد از حذف مایع رویی در کنار شعله به رسوب سه میلی‌لیتر کلرید کلسیم ۵۰ میلی‌مولار فیلترشده استریل اضافه شد و سپس ۳۰ دقیقه در یخ قرار داده شد. محلول با سرعت ۴۰۰۰ دور در دقیقه به مدت ۵ دقیقه در دمای چهار درجه سانتی‌گراد سانتریفیوز و محلول رویی در کنار شعله به طور کامل دور ریخته شد. رسوب حاصله در ۶۰۰ میکرولیتر کلرید کلسیم ۵۰ میلی‌مولار استریل حل و در حجم‌های ۱۵۰ میکرولیتر به میکروتیوب‌های دو میلی‌لیتری

۲۳۱۹ جفت‌باز است که ۲۲۰۵ جفت‌باز آن کد شده و غنی از AT و عاری از اسید‌آمینه سیستئین و متیکل از ۷۳۵ اسید‌آمینه است (۹). بعد از انتشار اگروتوکسین‌های سیاه‌خم در بدن میزبان، ابتدا PA طی فرآیندهای پروتئازی بخشی از ساختمان خود را که حدود ۲۰ کیلو‌دالتون وزن دارد از دست می‌دهد. با این فرآیند بخش ۶۳ کیلو‌دالتونی باقی‌مانده، فال‌شده و خود را به گیرندهای سطح سلول می‌رساند. برش PA در سرم میزبان تحت تاثیر پروتئازهای شبکه‌فرینی رخ می‌دهد (۹).

برای مقابله با سیاه‌ الخم سه راه شامل واکسیناسیون برای پیشگیری در مرحله اول، آنتی‌بیوتیک‌ها برای درمان عفونت شامل پنی‌سیلین، داکسی‌سیکلین و سیپروفلوکساسین و درمان‌های ضد سم برای جلوگیری از اثرات سمی باکتری در اواخر مرحله عفونت، وجود دارد (۹). واکسن‌های معمول سیاه‌ الخم از سویه‌ای از باسیلوس آنتراسیس که توکسین در مقادیر غیرکشنده تولید می‌کند، تهیه می‌گردد. اینمی‌زایی در برابر سیاه‌ الخم به کمک چند نوبت تزریق زیرجلدی با فاصله صورت می‌گیرد. تزریق یادآور سالانه نیز توصیه می‌شود. کارایی واکسن‌های موجود بر روی انسان کاملاً تایید نشده است (۹).

امروزه تلاش‌های زیادی برای بهینه کردن عملکرد داروها و واکسن‌های جهت کاهش اثرات جانبی آن انجام می‌شود. در این زمینه سامانه‌های رهایش کنترل شده نقش موثری در رساندن عوامل فارماکولوژیکی و بیولوژیکی به نقاط مشخصی در بدن و رهایش آن با سرعت کنترل شده و بهینه ایفای می‌کند. لذا نه تنها تاثیر درمانی دارو یا اینمی‌زایی واکسن را بیشتر می‌کند، بلکه اثرات جانبی نامطلوب را نیز می‌کاهد. از راهکارهای موفق در زمینه رهایش کنترل شده، استفاده از سامانه‌های کلوئیدی است. این سامانه‌ها شامل لیپوزوم، نیوزوم، میکروذرات، نانوذرات و ... است. در میان حامل‌های کلوئیدی، لیپوزوم‌ها و نانوذرات بیشتر از بقیه مورد مطالعه و بررسی قرار گرفته‌اند. نانوذرات وسیله‌ی مناسبی برای تحويل داروهایی با وزن مولکولی کم و نیز ماکرومولکول‌های بزرگ مانند پروتئین‌ها، پیتیدها و یا این‌ها در بدن (از راههای تجویزی مختلف) هستند. این نانوذرات به عنوان یک ابزار عالی برای تحويل برخی از ماکرومولکول‌های زیستی، داروها، ژن‌ها و واکسن‌ها به محل مورد نظر در داخل بدن عمل می‌کنند (۱۰). نانوذرات زیست تحrib‌پذیر را می‌توان از انواع مواد مانند پروتئین‌ها، پلی‌ساقاریدها و پلیمرهای زیست تحrib‌پذیر مصنوعی تهیه نمود. انتخاب پلیمر پایه با توجه به هدف و کاربرد نهایی، به بسیاری از عوامل بستگی دارد از جمله آن‌هایی که توان به اندازه نانوذرات مورد نظر، خواص دارو یا آنتی‌زن موردنظر (حالیت آبی، پایداری وغیره) جهت بارگذاری در پلیمر، ویژگی‌ها و عملکرد سطح، درجه تجزیه‌پذیری بیولوژیک و زیست‌سازگاری و مشخصات رهایش محصول نهایی و ... اشاره نمود (۱۱).

پیشرفت در ترکیب و فرمولاسیون واکسن‌ها به افزایش اینمی‌ارائه شده توسط واکسن‌ها کمک می‌کند. ادجوانات‌ها و سیستم‌های تحويلی جدید اینمی‌زایی را تقویت نموده و نیاز به

سانتی گراد قرار داده شدند. سپس سلول‌ها از طریق سونیکاسیون (قدرت ۷۵ درصد در ۱۲ سیکل، ۲۰ ثانیه سونیکاسیون و ۲۰ ثانیه در بین) شکسته شدند و سلول‌های لیزشده در مدت ۲۰ دقیقه با سرعت ۱۳۵۰۰ دور در دقیقه در دمای چهار درجه سانتی گراد سانتریفیوژ شدند تا سلول‌های نشکسته، قطعات دیواره سلولی و دیگر اجزا سلولی تنهشین شود. درنهایت محلول رویی بر روی ژل SDS-PAGE جهت بررسی بیان الکتروفورز گردید.

### ۴.۲. تخلیص پروتئین با استفاده از ستون ATN-iN

برای تخلیص پروتئین نوترکیب از ستون نیکل-نیتریلوتری استیک اسید (Ni-NTA) محصول شرکت Shinegene استفاده شد. از آن جایی که پروتئین نوترکیب هدف به صورت محلول بود، با فرهای مناسب برای شستشوی ستون مناسب با شرایط استفاده شد. برای تعیین غلظت پروتئین موجود در محلول‌های به دست آمده حاصل از مرحله قبل، از روش برادرفورد استفاده شد.

### ۴.۳. تهیه نانوذرات AGLP حاوی پروتئین نوترکیب

برای تولید نانوکپسول‌ها از روش امولسیون دوگانه تبخیر حلال استفاده شد. این روش بر خلاف روش امولسیون ساده‌یا یگانه که برای داروهای نامحلول در آب مناسب است، روشی مبتنی بر امولسیون آب-روغن-آب (W/O/W) است و یکی از مناسبترین راه‌های برای بارگذاری کردن داروهای آبدوست نظری پیتیدها، پروتئین‌ها و واکسن‌ها است. در این روش، محلول بافری دارو به فاز آبی شامل پلیمر اضافه و تشکیل امولسیون اولیه (W/O) را می‌دهد. این امولسیون به آرامی و در حین هم‌زدن به حجم بزرگی از آب که شامل امولسیفار است (امولسیفار در این آزمایش پلی وینیل الکل یا PVA است) اضافه شده تا امولسیون آب-روغن-آب حاصل شود. در پایان، حلال از امولسیون به روش تبخیر و استخراج حلال جدا می‌گردد.

جهت تهیه نانوذرات PLGA، در یک بشر، چهار میلی‌لیتر دی‌کلرومتان ریخته و به آن ۳۰ میلی‌گرم پلیمر PLGA اضافه و سپس حدود دو ساعت اجازه داده شد تا پلیمر بر روی همزن مغناطیسی به خوبی حل شود (نکته مهم این است که دی‌کلرومتان نقش حلال پلیمر PLGA و همچنین فاز روغنی را در این آزمایش ایفا می‌کند و به شدت فرار است بنابراین در طول انجام آزمایش باید در برابر ظرف تولید نانوذره با فویل آلومینیومی به خوبی پوشش داده شود). پس از گذشت مدت زمان فوق، یک میلی‌لیتر از محلول پروتئینی حاوی یک میلی‌گرم پروتئین به صورت قطره‌قطره به محلول پلیمری در حال هم‌زدن اضافه شد و سپس حدود پنج دقیقه اجازه داده شد تا مخلوط پلیمر و پروتئین بر روی همزن مغناطیسی به خوبی حل شود تا امولسیون آب-روغن (W/O) ایجاد شود. پس از این مرحله سه مرتبه سونیکه با قدرت ۵۰ درصد و سیکل ۱/۵ هر بار به مدت ۲۰ ثانیه انجام شود. هشت میلی‌لیتر محلول pH=۸/۵ درصد در آب مقطر به صورت تازه آماده شد (با کمی حرارت PVA بهتر

استریل منتقل و به مدت ۱۰ دقیقه در بین قرار داده شد. تاریخت نمودن (Transformation) سلول‌های مستعد به روش شوک حرارتی انجام شد. مقدار ۱۰-۵ میکرولیتر از پلاسمید حاوی زن جهش‌یافته به دو میکروتیوب در کنار شعله به تیوب‌های حاوی سلول‌های مستعد قرار داده شده در بین ۳۰ دقیقه درون بین قرار گرفت. جهت شوک سرما-گرم به محلول، لوله‌ها بالا فاصله از بین خارج و در حمام آبگرم در دمای ۴۲ درجه سانتی گراد به مدت ۹۰-۱۲۰ ثانیه قرار داده شد. بعد از آن لوله‌ها سریعاً به درون بین انتقال داده شد و به مدت پنج دقیقه به همین وضعیت باقی ماندند. به میکروتیوب‌ها یک میلی‌لیتر محیط کشت LB مایع استریل اضافه نموده، حدود یک ساعت در دمای ۳۷ درجه سانتی گراد و سرعت ۱۵۰ دور در دقیقه در شیکر انکوباتور قرار داده شد.

پس از حدود یک ساعت سلول‌ها با سرعت ۵۰۰۰ دور در دقیقه به مدت پنج دقیقه در ته میکروتیوب جمع‌آوری نموده و رسوب در ۱۰۰-۲۰۰ میکرولیتر LB مایع باقی‌مانده در ته تیوب مخلوط گردید. سپس بر روی محیط LB آگار حاوی آنتی‌بیوتیک کانامایسین (۸۰ میکروگرم بر میلی‌لیتر) برده و به مدت ۱۵ ساعت درون انکوباتور ۳۷ درجه سانتی گراد گرم‌گذاشی شد تا رشد کنند.

### ۴.۴. بیان پروتئین نوترکیب در باکتری

ابتدا تعدادی از کلونی‌های موجود بر روی محیط کشت جامد انتخاب و هر کدام به لوله‌های حاوی پنج میلی‌لیتر محیط کشت LB مایع و آنتی‌بیوتیک با غلظت نهایی ۸۰ میکروگرم بر میلی‌لیتر تلقیح و به مدت ۱۵ ساعت در شیکر انکوباتور با دمای ۳۷ درجه سانتی گراد و سرعت ۱۵۰ دور در دقیقه گرم‌گذاشی شد. در ادامه مقدار ۵۰ میکرولیتر از کشت تازه به طور جداگانه در دو لوله (یکی شاهد و دیگری تست) حاوی پنج میلی‌لیتر محیط کشت LB مایع و ۴۰ میکروگرم بر میلی‌لیتر آنتی‌بیوتیک تلقیح و لوله‌ها با شرایط فوق گرم‌گذاشته شدند. پس از رسیدن مقدار جذب نوری لوله‌ها به ۶/۰ در طول موج ۶۰۰ نانومتر، به هر کدام از لوله‌های تست در شرایط استریل (کنار شعله)، ماده IPTG با IPTG نهایی یک میلی‌مولار اضافه و به لوله‌های شاهد اضافه نگردید. سپس لوله‌های شاهد و تست به مدت حدود چهار ساعت در شیکر انکوباتور با دمای ۳۰ درجه سانتی گراد و سرعت ۹۰ دور در دقیقه گرم‌گذاشی شدند. پس از تمام زمان فوق، محیط کشت داخل لوله‌های تست و شاهد به میکروتیوب‌های ۱/۵ میلی‌لیتری جداگانه منتقل و به مدت دو دقیقه با سرعت ۸۰۰۰ دور در دقیقه سانتریفیوژ شدند تا سلول‌های باکتریایی جمع‌آوری شده شوند. سپس سلول‌های باکتریایی جمع‌آوری شده (اعم از تست و شاهد) به روش طبیعی تیمار شدند. ابتدا سلول‌ها در ۱۰۰ میکرولیتر با فرالیزکننده pH=۸ به مدت یک ساعت و درون شیکر انکوباتور با سرعت ۱۵۰ دور در دقیقه و دمای ۳۷ درجه

زیرپوستی تزریق شد (به هر مosh ۲۰۰ میکرولیتر از نمونه در برگیرنده ۱۰ میکروگرم آنتی زن). همچین پروتئین نوترکیب PA63 بارگذاری شده در نانوذرات PLGA نیز به صورت دوتزریقه (روز ۱ و ۲۸) به صورت زیرپوستی انجام گردید. برای حیوانات شاهد نیز به جای آنتی زن از نانوذرات فاقد پروتئین و PBS استفاده شد. خون گیری های که هفته پس از تزریق دوم، یک هفته پس از تزریق سوم و یک هفته پس از تزریق چهارم صورت پذیرفت. خون گیری های با استفاده از پیپت پاستور از گوشه چشم هر مosh به آرامی به عمل آمد. قطرات خون به داخل تیوب های ۱/۵ میلی لیتری منتقل و پس از برچسب زدن و ذکر مشخصات حیوانات، به مدت یک ساعت در انکوباتور ۳۷ درجه سانتی گراد و سپس سانتریفیوژ با سرعت ۳۰۰۰ دور در دقیقه و به مدت پنج دقیقه انجام شد. در مرحله بعد، از سرم به دست آمده به منظور بررسی میزان تیتر آنتی بادی IgG تولیدی با استفاده از الیزا غیر مستقیم استفاده شد.

۶.۳ آنالیز آماری

برای بررسی آماری داده‌های حاصل از تیتراتنی بادی تولیدشده توسط الایزای غیرمستقیم در سرم، از آزمون‌های ANOVA استفاده شد. این آزمون برای مقایسه میانگین‌ین تیتر آتنی بادی نمونه‌ها در سطح خطای پنج درصد و با نرم‌افزار Grapphad prism ver 8 انجام شد.

٤. نتائج

#### ۱.۴. انتقال پلاسمید په پاکتری *E.coli*

فرآورده واکنش الحاق، با روش شوک حرارتی در سلولهای صلاحیت‌دار شده *E. coli* BL21(DE3) وارد گردید و روی محیط LB آگار حاوی آنتی‌بیوتیک (۸۰ میکروگرم در میلی لیتر) گسترش داده شد. نتایج به دست آمده بدین صورت بود که:

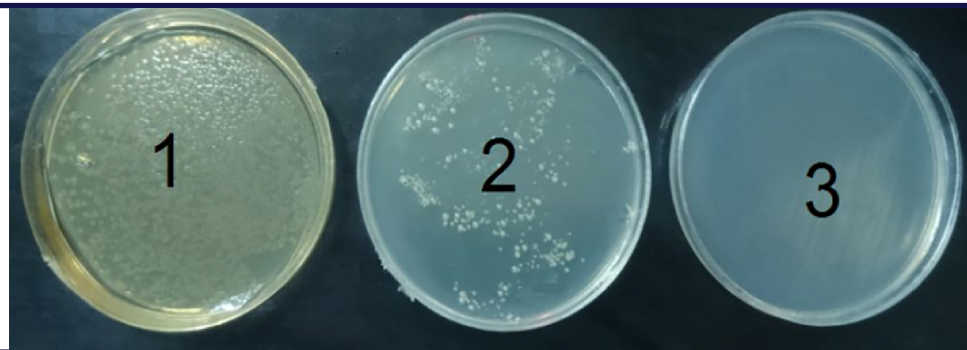
- نمونه تست اصلی مرحله الحق که هم حاوی وکتور و هم حاوی قطعه زن موردنظر بود، رشد خوبی داشت.
  - نمونه کنترل منفی در فرایند ترانسفورماتیوں که فقط حاوی سلول‌های مستعد بود و انتقالی به آن صورت نگرفته بود، اصلاحی نداشت که نشان‌دهنده عدم وجود آلودگی در حین انجام مراحل کار است.
  - نمونه کنترل مثبت این فرایند که حاوی نمونه خاصی از یک پلاسمید تخلیص شده مقاوم بود، رشد بسیار بالایی داشت. برای انجام مراحل بعدی تعدادی از این کلونی‌ها روی پلیت LB حاوی آنتی‌بیوتیک منتقل شدند تا به صورت ذخیره برای مراحل بعدی نگهداری شوند. در تصویر ۱ نتایج فوق الذکر نشان داده شده است.

در آب حل می شود) و سپس با سرنگ محلول حاوی نمونه + آنتی زن قطره قطره به PVA اضافه در حال هم زدن اضافه شد. سپس همانند مرحله قبل نمونه سونیکه شد ولی این بار مراحل چهار بار و مدت زمان سونیکه نیز ۳۰ ثانیه بود. در این مرحله حجم امولسیون دو گانه W/O/W به دست آمده را با آب مقطر به ۳۰ میلی لیتر رسانده و پسر بر روی همزن قرار داده شد و دو ساعت اجازه داده شد تا در حال هم زدن حلال دی کلرومتان کاملاً تبخیر شود. با گذشت زمان لازم برای تبخیر حلال و سخت شدن ذرات موجود در محلول، جمع آوری ذرات آن ها انجام گرفت. برای جمع آوری ذرات کل محلول به داخل لوله فالکون ۵۰ میلی لیتری ریخته شد و به مدت ۲۰ دقیقه با سرعت ۱۳۵۰۰ میلی لیتری ریختنیفزو گردید. برای بررسی انداره و پتانسیل زتا دور در دقیقه سانتریفیوژ گردید. برای Malvern DLS مدل ساخت کشور انگلستان متعلق به دانشگاه علوم پزشکی بقیه ... (عج) استفاده شد. جهت بررسی خصوصیات ظاهری نانوذرات از میکروسکوپ الکترونی روبشی (SEM) مدل FEI Quanta ۲۰۰ ساخت شرکت FEI استفاده شد. این مدل میکروسکوپی دارای دو نوع دکتورور SE با نامهای BSE است. به منظور جلوگیری از رشد نانوذرات نمونه های تازه تهیه شده بر روی یک سطح شیشه ای قرار داده شد. پس از خشک شدن کامل، نمونه به وسیله یک لایه نازک طلا با روش P.V.D پوشش داده شد. جهت انجام لایه نشانی طلا از دستگاه SBC12 Sputter coater مدل KYKY ساخت شرکت استفاده شد.

برای بررسی الگوی رهایش پروتئین نوترکیب PA63 از نانوکپسول، مقداری از نانوذرات PLA-PEG حاوی سه میلی‌گرم پروتئین در حجم ۵۰۰ میکرولیتر محلول PBS درون میکروتیوب دو میلی‌لیتری ریخته و با هم زدن پراکنده شد. میکروتیوب درون شیکرانکوباتور در دمای ۳۷ درجه سانتی‌گراد و ۲۰۰ دور در دقیقه قرار داده شد. در هر مرحله زمانی برای برداشت نمونه، محلول حاوی نانوذرات به مدت پنج دقیقه با سرعت ۱۰۰۰۰ دور، سانتریفیوژ و ۵۰۰ میکرولیتر از محلول رویی برداشته و به همان میزان با فر تازه جایگزین می‌شد و پس از ورتسکس کردن مجدد در شیکرانکوباتور قرار می‌گرفت. انجام این آزمون به مدت ۴۹ روز ادامه داشت. در ابتدا، چهار ساعت پس از انجام رهایش و در ادامه در فاصله زمانی هر هفت روز انجام گرفت. سپس با استفاده از روش پروتئین‌سنجبی برآفورد با سه بار تکرار، غلظت پروتئین موجود در نمونه تعیین گردید. درنهایت منحنی درصد تجمعی پروتئین رهاشده از نانوذرات در مدت زمان‌های تعیین شده، ت سیم شد.

### ۵.۳. ایمنی زایی در موش

برای انجام اینمیزایی، پروتئین نوترکیب به همراه ادجوانات فرونده کامل و ناقص طی چهار نوبت به گروه تست و شاهد موش‌های سوری به ترتیب در روز ۱۴، ۲۸ و ۴۲ به صورت

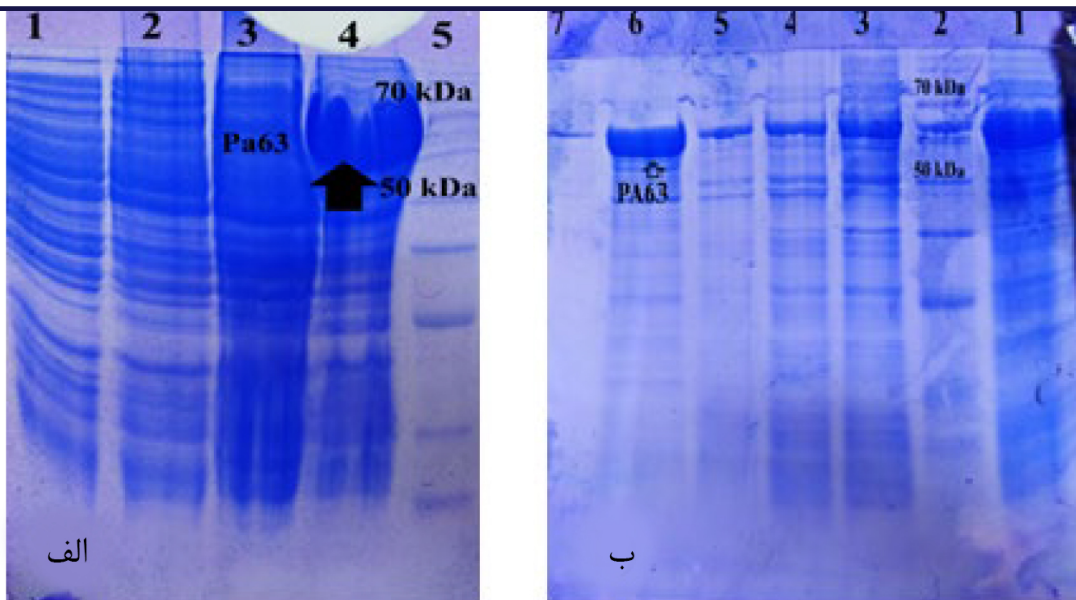


تصویر ۱. رشد کلیهای *E. coli* نوترکیب، روی محیط‌های حاوی آنتی‌بیوتیک. پلیت ۱: نمونه کنترل مثبت، حاوی پلاسمید مقاوم، پلیت ۲: پلیت حاوی پلاسمید نوترکیب، پلیت ۳: نمونه کنترل منفی فقط حاوی سلول‌های مستعد بود.

که ژن‌های همسان‌سازی شده با القای IPTG بیان زیادی را به صورت انکلوژن بادی در باکتری دارند.

#### ۳.۴ آماده‌سازی نمونه برای عبور از ستون کروماتوگرافی

محلول به دست آمده برای استفاده در ستون Ni-NTA مورد استفاده قرار گرفت. سپس محلول شفاف به ستون منتقل گردید و در هر مرحله شستشو نمونه‌ای از آن برای بررسی میزان خلوص پروتئین نوترکیب با استفاده از SDS-PAGE برداشته شد که نتایج آن نشان می‌دهد پروتئین‌های مورد نظر با بافر ۲۵۰ IM (ایمیدازول ۲۵۰) از ستون Ni-NTA جدا می‌شوند (تصویر ۲).



تصویر ۲. تصویر الکتروفورز ۱۲ SDS-PAGE ۱۲ درصد. الف، بیان پروتئین نوترکیب PA63 در محلول PBS. ستون ۲: نمونه با القای IPTG در محلول PBS. ستون ۳: نمونه کنترل بدون القای IPTG در بافر لیزکننده B. ستون ۵: نشانگر پروتئینی SM.۳۰۰۱۳. ب، تخلیص پروتئین PA63 از ستون نیکل. با استفاده از ژل ۱۲ درصد SDS-PAGE. ستون ۱: flow قبل از ستون ستون ۲: مارک شماره SM.۳۱۰۰۳ ستون ۳: flow بعد از ستون ستون ۴ بافر C، ستون ۵: بافر D، ستون ۶: بافر E250، ستون ۷: بافر MES.

حاصل با نمودار استاندارد BSA مقایسه گردید و غلظت حاصل از تخلیص در طی این فرایند برای PA63، مقدار ۸٪ میلی‌گرم بر میلی‌لیتر بود.

#### ۴.۴ بررسی بیان پروتئین در میزبان *E. coli* توسط روش SDS-PAGE

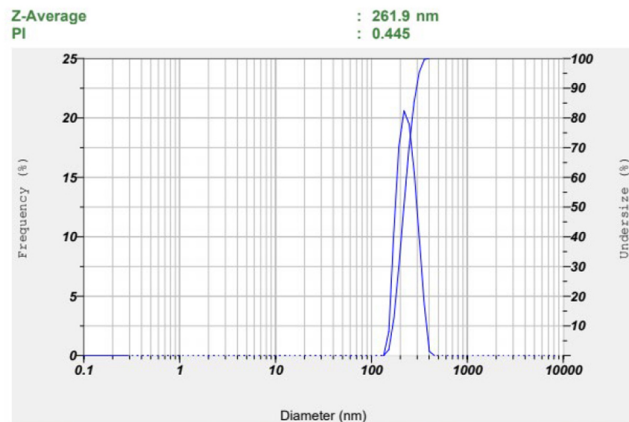
پس از کشت سلول‌ها و القا با IPTG، بیان پروتئین نوترکیب صورت پذیرفت و سپس نمونه‌ها بر روی ژل ۱۲ SDS-PAGE در صد مورد ارزیابی قرار گرفتند. باند پروتئینی آنتی‌ژن PA63 درون نمونه رسوب حاصل از سونیکاسیون دیده می‌شود؛ بنابراین پروتئین نوترکیب، به صورت انکلوژن بادی تولیدشده و در محیط سیتوپلاسمی باکتری محلول نیست. همان‌طور که در شکل ۲ الف مشخص است، باند پروتئینی PA63 ۶۸ کیلو Dalton است که درون بافر لیزکننده B حاصل از سونیکاسیون دیده می‌شود. باند پروتئین‌های مورد انتظار در شکل نشان می‌دهد

#### ۴.۴ تعیین غلظت پروتئین نوترکیب

از نمونه پروتئین‌های تخلیص شده با ستون Ni-NTA تعیین غلظت پروتئین نوترکیب با روش برآفورد انجام شد. اعداد

بررسی قرار گرفت. نتایج نشان دهنده این بود که نانوذرات تهیه شده دارای متوسط اندازه ۲۶۱/۹ نانومتر و میزان شاخص پراکندگی برابر ۰/۴۴۵ هستند و خصوصیات نانوذرات در محدوده مطلوبی از نظر اندازه و PDI قرار گرفته بود (تصویر ۳ الف).

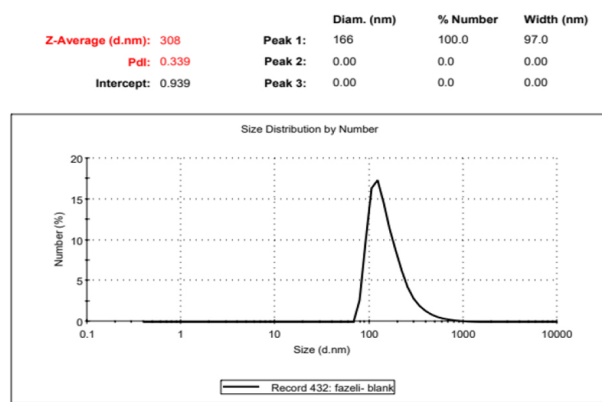
الف



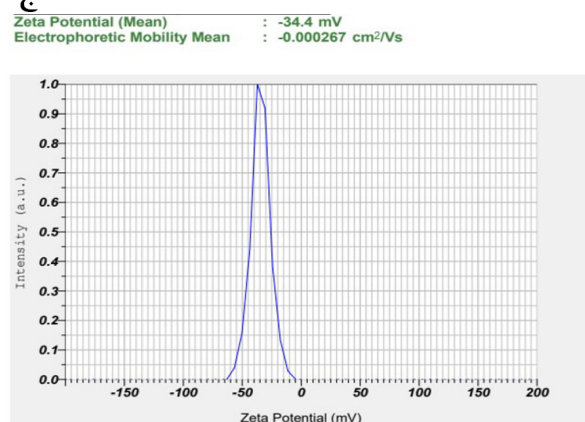
#### ۵.۴. بررسی اندازه نانوذرات PLGA با استفاده از پراش نور پویا

پس از آماده سازی نمونه، نانوذرات PLGA تولید شده در حضور و یا نبود پروتئین نوترکیب از نظر اندازه توسط دستگاه DLS مورد

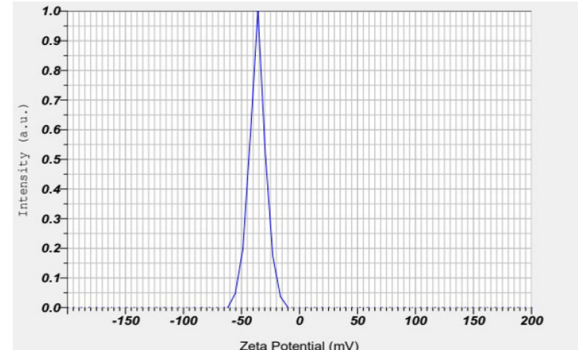
ب



c



Zeta Potential (Mean) : -36.3 mV  
Electrophoretic Mobility Mean : -0.000282 cm²/Vs



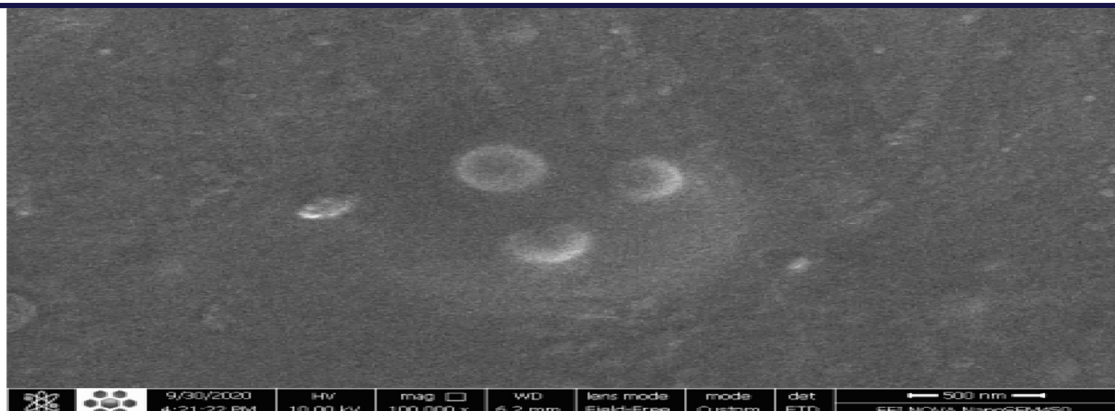
تصویر ۳. نمودار بررسی نمونه در شرایط بهینه توزیع اندازه DLS. الف، بازه توزیع اندازه PLGA فاقد پروتئین، ب، بازه توزیع اندازه PLGA حاوی پروتئین PA63، ج، پتانسیل زتا PLGA فاقد پروتئین، د، پتانسیل زتا PLGA حاوی پروتئین PA63

#### ۷.۴. بررسی خصوصیات ظاهری نانوذرات حاوی پروتئین های نوترکیب

پس از لایه نشانی، نمونه نانوذرات توسط میکروسکوپ مورد ارزیابی قرار گرفت. تصاویر میکروسکوپ الکترونی کروی بودن سطح ذرات حاصل از فرایند تولید نانوذرات در شرایط بهینه را مطلوب نشان داد. همچنین این تصاویر، نتایج دستگاه DLS نشان دهنده این بود که پتانسیل زتا نانوذرات را تایید نمود. تصویر ۴، تصویر میکروسکوپ الکترونی از نانوذرات تهیه شده است که کروی و تا حد زیادی حائز شرایط ایده آل هستند.

#### ۶.۴. بررسی پتانسیل زتا نانوذرات PLGA حاوی پروتئین های نوترکیب

در فرآیندهای گوناگون صنعتی، غذایی و دارویی به منظور جداسازی و برآورده بیژگی های فیزیکی و شیمیایی، بررسی ویژگی های سطحی مواد از اهمیت بهسازانی برخوردار است. این آزمون نیز از نمونه های نانوذرات PLGA که توزیع اندازه ذرات آن در مراحل قبل مورد بررسی قرار گرفته بود، تهیه شد. نتایج نشان دهنده این بود که پتانسیل زتا نانوذرات PLGA فاقد و حاوی پروتئین دارای یک پیک میانگین در محدوده ۳۰-۳۶ میلی ولت تا ۳۶ میلی ولت بود (تصویر ۳ ب).



تصویر ۴. تصویر میکروسکوپ الکترونی SEM مدل FEI Quanta 200 از نانوذرات خشک شده بر روی سطح شیشه‌ای، روی گردید قرار گرفته و پس از پوششده‌ی با طلا، تصویربرداری شد.

سانتریفیوژ نانوذرات Freez drying شدن و سپس بازده وزنی تولید نانوذرات محاسبه شد. همچنین محلول رویی جمع‌آوری و پروتئین‌سنجی شد و طبق فرمول راندمان احتباس (LE درصد) و ظرفیت احتباس (LC درصد) نانوذرات از روش غیرمستقیم محاسبه گردید (جدول ۱).

#### ۸.۴. بررسی بازده وزنی تولید نانوذرات، راندمان احتباس و ظرفیت احتباس نانوذرات به روش غیرمستقیم

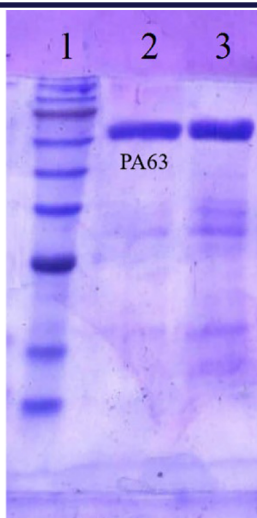
در این بخش از تحقیق پس از ساخت نانوذرات و انجام

جدول ۱. بررسی بازده وزنی (PY درصد)، راندمان احتباس (LE درصد) و ظرفیت احتباس (LC درصد) نانوذرات

گروه‌ها	نانوذرات PA63 حاوی پروتئین	نانوذرات PLGA حاوی پروتئین	نانوذرات BSA حاوی PLGA
LC درصد	PY درصد	LE درصد	
۱.۴	۸۷	۳۶	
۳.۵	۹۶.۲	۹۷	

#### ۱۰.۴. نتایج بررسی پایداری و ماندگاری پروتئین نوترکیب در طول تهیه نانوذرات PLGA

پس از انجام رهایش کامل نانوذرات PLGA و مقایسه آن با پروتئین نوترکیب به عنوان کنترل، مشخص شد که پروتئین در طول مراحل ساخت نانوذرات پایدار بوده و دناتوره نشده است (تصویر ۶).

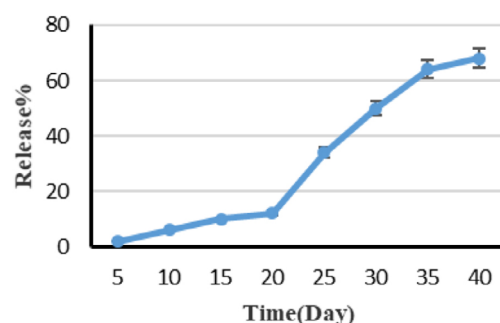


تصویر ۶. آنالیز ۱۲ SDS-PAGE درصد رنگ‌آمیزی شده به روش کوماسی بلواز پروتئین‌های رهایش شده از نانوذرات PLGA: ستون ۱: نشانگر مولکولی پروتئین. ستون ۲: پروتئین نوترکیب PA63 رهایش شده از نانوذرات به مدت ۱۶ ساعت. ستون ۳: پروتئین نوترکیب PA63

#### ۹.۴. بررسی برونشون رهایش آنتی زن از نانوذرات PLGA

رهایش پروتئین از نانوذرات PLGA به مدت ۴۰ روز بررسی و براساس درصد تجمعی رهایش پروتئین در تصویر ۵ نمایش داده شد. همان‌طور که در تصویر ۵ مشاهده می‌شود فرایند رهایش توکسین در ۲۰ روز نخست با یک سرعت تقریباً ثابت انجام شده است، اما از این زمان به بعد با یک سرعت تصاعدی رهایش انجام شده است و پس از گذشت ۴۰ روز از بررسی رهایش حدوداً ۶۸ درصد از پروتئین از نانوذرات رهایش شده است که این الگوی رهایش با الگوی رهایش نانوذرات PLGA در مطالعات دیگر مشابه دارد.

#### PLGA Release

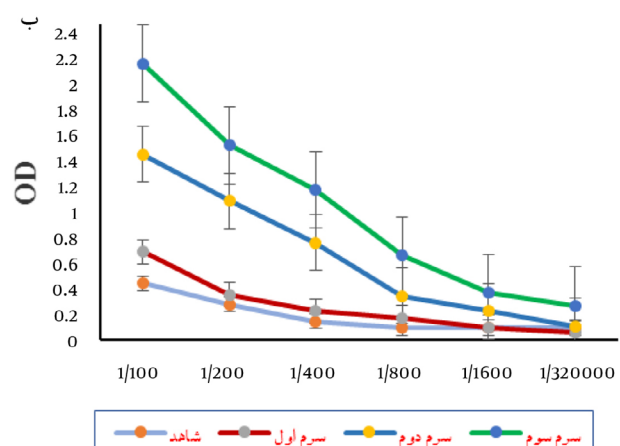
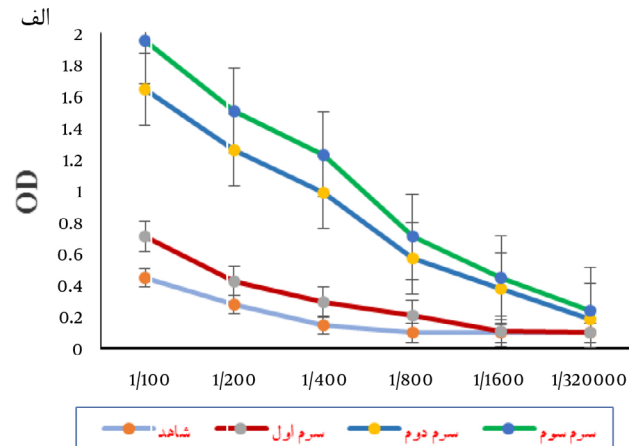


تصویر ۵. نتایج درصد تجمعی رهایش آنتی زن از نانوذرات PLGA در طول مدت ۴۰ روز

هفته بعد از هر بار تجویز به صورت تصادفی از موش‌های تست و شاهد خون‌گیری به عمل آمد و بعد از جداسازی سرم آزمایش الیزای انجام شد که نسودار میانگین تیتر آنتی‌بادی در هر مرحله تصویر ۷ نشان داده شده است.

#### ۱۱.۴. ارزیابی تیتر IgG در سرم موش‌های ایمن‌شده

به منظور ارزیابی آنتی‌بادی تولیدشده و محاسبه میزان آن در هر مرحله تجویز از روش الیزای غیرمستقیم استفاده شد. یک

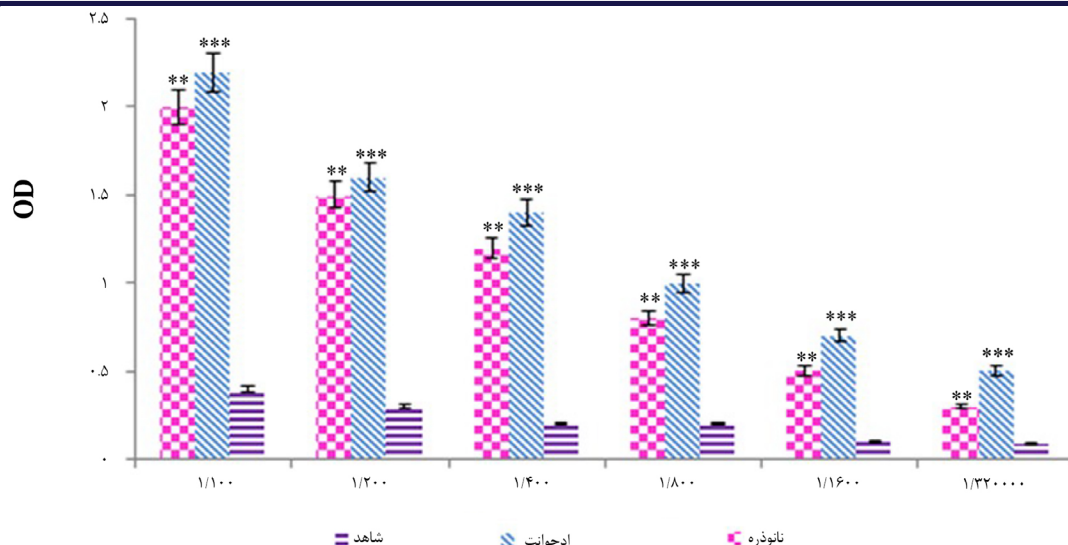


تصویر ۷. تیتر آنتی‌بادی تولیدشده در سرم موش‌های ایمن به صورت تجویز زیرجلدی و مقایسه آن با گروه شاهد. محور عمودی: جذب نوری در طول موج ۴۹۵ و محور افقی سریال رقت رانشان می‌دهد. a، تولید آنتی‌بادی علیه PA63 کپسوله شده با PLGA، b، تولید آنتی‌بادی علیه PA63 همراه با ادجوانت

شد. این آزمون مقایسه میانگین تیتر آنتی‌بادی نمونه‌ها و معنی‌دار بودن متغیرها را در سطح خطای حداقل یک درصد نشان داد (تصویر ۸).

#### ۱۲.۴. آنالیز آماری

برای بررسی آماری داده‌های حاصل از تیتر آنتی‌بادی تولیدشده توسط الیزای غیرمستقیم در سرم، از آزمون‌های ANOVA استفاده



تصویر ۸. آنالیز آماری تیتر آنتی‌بادی تولیدشده علیه PA63 همراه با ادجوانت، کپسوله شده با PLGA و شاهد به صورت تجویز زیرجلدی در سرم موش‌های ایمن شده و مقایسه آن با گروه شاهد ( $P < 0.001$ ) که معنی‌دار بودن متغیرها رانشان می‌دهد. (\*\* معادل  $P < 0.01$  و \*\*\* معادل  $P < 0.001$  است).

تحقیق استفاده شد. نانوذرات PLGA با خصوصیات مختلف از نظر خواص فیزیکی و شیمیایی متفاوت، الگوی رهایش، نحوه سنتز و میزان بارگیری مورد مطالعه قرار گرفت تا بهترین شکل پلیمر برای بارگذاری پروتئین‌ها مشخص شود. تخریب PLGA بستگی به نسبت مونومری برای تولید این پلیمر دارد. گلیکولیک اسید کمی از لاكتیک اسید آب‌دوست‌تر است و نسبت بیشتر آن باعث افزایش سرعت هیدرولیز می‌گردد.

## ۵. بحث

در این تحقیق، میانگین تیتر آنتی‌بادی تولیدی در موش سوری علیه پروتئین نوترکیب PA63 به صورت بارگذاری شده نسبت به آزاد، افزایش داشت. با توجه به مزایای سیستم‌های نانوذرات در کاهش خطرات احتمالی پروتئینی و همچنین احتمال افزایش ایمنی زایی آن به عنوان سیستم‌های تحويل نوین واکسن‌های پروتئینی، از نانوذرات بر پایه پلیمرهای سنتزی برای انجام این

الکل ۰/۳ تا ۰/۷ درصد استفاده شده است (۲۰). در این مطالعه از پلیوینیل الکل ۲/۵ درصد استفاده شد که می‌توان چنین نتیجه گرفت که افزایش پلیوینیل الکل در مطالعه حاضر خود یکی از عوامل کاهش سایز نانوذرات PLGA است. در مطالعه دیگری توسط نظریان و همکاران با استفاده از روش امولسیون دوگانه تبخیر حلال یک پروتئین نوترکیب کایمیریک در نانوذرات PLGA بارگذاری گردید که اندازه نانوذرات تولید شده در این مطالعه در محدوده ۲۵۲/۷ نانومتر گزارش شد (۲۱). مقایسه نتایج این مطالعه و مطالعات دیگر نشان دهنده اندازه مناسب نانوذرات تولید شده بود.

در این تحقیق، همچنین از نانوذرات PLGA نیز جهت بررسی اینمی‌زایی در موش‌ها استفاده شد و میزان تیتر آنتی‌بادی و اینمی‌زایی آن مورد بررسی قرار گرفت. در مطالعات مختلف جهت افزایش اینمی‌زایی از نانوذرات و میکرونوذرات PLGA حاوی آنتی‌زن استفاده شده است. به عنوان مثال در یک مطالعه، Diwan و همکارانش در سال ۲۰۰۲ نشان دادند تجویز زیرجلدی توکسوئید کزار همراه با ادجوانت قوی الیگوادکسی نوکلئوتیدهای (ODNs) حاوی CpG در نانوسفر PLGA، ایجاد پاسخ اینمی سیستمیک و سلولی بسیار بالایی از نوع Th1 IgG3، IgG2b (INF-γ)، IgG1 و همچنین Th2 (۲۲) می‌نماید. با توجه به مطالعات مختلف نشان داده شده است که اندازه، اصلاح سطح و الگوی رهایش نانوذرات PLGA در این‌سازی آنتی‌زن بارگذاری شده بر روی آن بسیار موثر است (۲۳). به عنوان مثال، مشخص شده است که اندازه متوضط نانوذرات بر پایه PLGA و یا پلی-L-لاکتیک اسید (بر روی این‌سازی واکسن هپاتیت B ریوی تاثیر زیادی دارد (۲۴) و همچنین اصلاح سطح نانوذرات پلیمری PLGA با لیبیدها بر روی انتقال همزمان آنتی‌زن و ادجوانتها تاثیر بهسزایی دارد (۲۵). از طرفی در ارتباط با الگوی رهایش نانوذرات PLGA نیز نسبت‌های مختلف لاکتیک اسید به گلیکولیک اسید در پلیمر PLGA بر میزان رهایش آنتی‌زن و در نتیجه میزان پاسخ اینمی تاثیر بهسزایی دارد. امروزه می‌توان PLGA را به صورت تجاری با نسبت‌های مختلف ۷۵:۷۵، ۵۰:۵۰، ۲۵:۲۵ و ۰:۵۰ از لاکتیک اسید به گلیکولیک اسید تهیه کرد. هر چه میزان لاکتیک اسید بیشتر باشد، میزان آب‌گریزی پلیمر هم افزایش یافته و تمایل به جذب آب در آن کمتر خواهد شد. در مواردی که نیاز به رهاسازی مقدار زیادتری از آنتی‌زن در بازه‌ی زمانی کوتاه‌تری مدنظر باشد، می‌توان از پلیمر با میزان گلیکولیک اسید بیشتر استفاده نمود (۲۶). با توجه به رهایش بسیار کند PLGA می‌توان استنتاج کرد که چنانچه از پلیمرهای PLGA دارای نسبت بیشتر پلی‌گلیکولیک اسید در مقایسه با پلی‌لاکتیک اسید استفاده شود، مقدار بیشتری آنتی‌زن در مدت زمان کمتر به بدن حیوان ارائه خواهد شد. همچنین تیتر آنتی‌بادی مربوط به خون گیری روز ۱۴۲ ام از ۲۸ ام بیشتر و دارای جهش قابل قبولی بود که این عمل ناشی از الگوی رهایش نانوذره و البته تکرار یادآور است. طی این تحقیق، مشخص شد که میزان پروتئین تخلیص شده، مدل ساخت نانوذره، رهایش و پایداری نانوذرات و

(۱۳). از آن جا که میزان پروتئین و مدت زمان ارائه آن به سیستم اینمی بر میزان پاسخ‌های اینمی تاثیر می‌گذارد، از PLGA با نسبت ۵۰:۵۰ استفاده شد (۱۴). به دلیل محافظت خوبی که این پلیمر در شرایط داخل بدن می‌تواند داشته باشد به عنوان حامل ذرات مختلفی اعم از داروهای با خاصیت آبدوستی و آب‌گریزی، پروتئین‌ها و پپتیدها، پلاسمید، siRNA و DNA به کار می‌رود (۱۵). پلیمرهای PLGA با درجه GMP (با کارایی ساخت بالا) از دیدگاه صنعتی دارای ارزش بسیار بالایی هستند (۱۶). برای بارگذاری پپتیدها یا پروتئین‌ها درون نانوذرات PLGA سه روش عمده وجود دارد: روش امولسیونی آب-روغن-آب (w/o/w)، روش‌های جدایی فازی و روش خشک‌کردن از طریق اسپری کردن. در این مطالعه از روش امولسیونی آب-روغن-آب استفاده شد. درنهایت باید مرحله پراکندگی با استفاده از امواج فراصوت یا همگن‌سازهای دارای سرعت بالا انجام می‌شد (۱۶) که از امواج اولتراسونیک با قدرت ۵۰ درصد و سیکل ۵/۰ استفاده شد. اغلب سورفکتان‌ها برای پایدار کردن نانوذرات در فاز آبی به منظور جلوگیری از تجمع و یا رسوب پلیمرهای غیرمحمول در آب به کار می‌رود. در این تحقیق، پلیوینیل الکل متداول ترین سورفکtant است که در روش تبخیر حلال مورد استفاده قرار می‌گیرد. در مطالعات مختلف غلظت‌های ۰/۵ تا ۵ درصد وزنی به حجمی از پلیوینیل الکل مورد استفاده قرار گرفته است. با افزایش غلظت این سورفکtant، تولید ذراتی با اندازه کوچکتر به دلیل کاهش کشش سطحی، امکان پذیر است. با افزایش غلظت پلیوینیل الکل، نانوذرات تولید شده دارای خاصیت آبدوستی بیشتری بوده و در نتیجه میزان جذب آن‌ها از طریق سلول‌ها، کمتر می‌شود. خصوصیات Eldridge سطح نانوذرات در برداشت و جذب آن‌موثر است (۱۷). و همکارانش نشان دادند ذرات آب‌گریز بیشتر از ذرات آبدوست جذب می‌شوند و تعداد ذرات به دام افتاده در پلاک‌های پیر با آب‌گریزی پلیمر مورد استفاده برای تهیه نانوذره ارتباط مستقیم دارد. افزایش مقدار آب‌گریزی ذرات سبب افزایش انتشار در مخاط می‌گردد، اما انتقال این ذرات در خلال سلول‌های M را کاهش می‌دهد. لذا برای این که فرایند برداشت و جذب کارایی لازم را داشته باشد باید تعادلی بین آبدوستی و آب‌گریزی پلیمر مورد استفاده برای تولید نانوذرات وجود داشته باشد (۱۸). بر همین اساس، در این مطالعه از غلظت ۲/۵ درصد پلیوینیل الکل استفاده شد تا هم نانوذراتی با اندازه کوچک و پراکندگی اندازه کمتر تولید شود و هم آبدوستی نانوذرات بسیار بالا نباشد (۱۹). نانوذراتی که در این تحقیق تولید شدند، نانوذرات PLGA با اندازه (افق دار) و حاوی پروتئین در محدوده ۲۰۰ و ۳۰۰ نانومتر بود. در تحقیق انجام شده توسط Domanska و Halayqa کلورپرمازین (PPH) در نانوذرات PLGA با هیدروکلراید (CPZ-HCl) و پرفنازین (PPH) در نانوذرات PLGA روش امولسیون دوگانه تبخیر حلال بارگذاری شد. میانگین اندازه نانوذرات PLGA حاوی CPZ-HCl و PPH به ترتیب برابر ۳۴۷ و ۳۲۵ نانومتر بود. در تحقیق Domanska و Halayqa از پلیوینیل

## References

1. Schmidt TR, Scott EJ, Dyer DW. Whole-genome phylogenies of the family Bacillaceae and expansion of the sigma factor gene family in the *Bacillus cereus* species-group. *BMC Genomics*. 2011;12:430. [PubMed ID:21864360]. [PubMed Central ID:PMC3171730]. <https://doi.org/10.1186/1471-2164-12-430>.
2. Koehler TM. *Bacillus anthracis* physiology and genetics. *Mol Aspects Med*. 2009;30(6):386-96. [PubMed ID:19654018]. [PubMed Central ID:PMC2784286]. <https://doi.org/10.1016/j.mam.2009.07.004>.
3. Helgason E, Okstad OA, Caugant DA, Johansen HA, Fouet A, Mock M, et al. *Bacillus anthracis*, *Bacillus cereus*, and *Bacillus thuringiensis*-one species on the basis of genetic evidence. *Appl Environ Microbiol*. 2000;66(6):2627-30. [PubMed ID:10831447]. [PubMed Central ID:PMC110590]. <https://doi.org/10.1128/AEM.66.6.2627-2630.2000>.
4. Kumari A, Yadav SK, Yadav SC. Biodegradable polymeric nanoparticles based drug delivery systems. *Colloids Surf B Biointerfaces*. 2010;75(1):1-18. [PubMed ID:19782542]. <https://doi.org/10.1016/j.colsurfb.2009.09.001>.
5. Mirhaj H, Honari H, Zamani E. Evaluation of immune response to recombinant *Bacillus anthracis* LFD1-PA4 chimeric protein. *Iran J Vet Res*. 2019;20(2):112-9. [PubMed ID:31531033]. [PubMed Central ID:PMC6716276].
6. Brey RN. Molecular basis for improved anthrax vaccines. *Adv Drug Deliv Rev*. 2005;57(9):1266-92. [PubMed ID:15935874]. <https://doi.org/10.1016/j.addr.2005.01.028>.
7. Gordon VM, Klimpel KR, Arora N, Henderson MA, Leppla SH. Proteolytic activation of bacterial toxins by eukaryotic cells is performed by furin and by additional cellular proteases. *Infect Immun*. 1995;63(1):82-7. [PubMed ID:7806387]. [PubMed Central ID:PMC172960]. <https://doi.org/10.1128/iai.63.1.82-87.1995>.
8. Friedlander AM. Tackling anthrax. *Nature*. 2001;414(6860):160-1. [PubMed ID:11700539]. <https://doi.org/10.1038/35102660>.
9. Hicks CW, Sweeney DA, Cui X, Li Y, Eichacker PQ. An overview of anthrax infection including the recently identified form of disease in injection drug users. *Intensive Care Med*. 2012;38(7):1092-104. [PubMed ID:22527064]. [PubMed Central ID:PMC3523299]. <https://doi.org/10.1007/s00134-012-2541-0>.
10. Mahapatro A, Singh DK. Biodegradable nanoparticles are excellent vehicle for site directed in-vivo delivery of drugs and vaccines. *J Nanobiotechnol*. 2011;9:55. [PubMed ID:22123084]. [PubMed Central ID:PMC3238292]. <https://doi.org/10.1186/1477-3155-9-55>.
11. Reis CP, Neufeld RJ, Ribeiro AJ, Veiga F. Nanoencapsulation I. Methods for preparation of drug-loaded polymeric nanoparticles. *Nanomedicine*. 2006;2(1):8-21. [PubMed ID:17292111]. <https://doi.org/10.1080/1743506050041111>.

تیتر آنتی بادی مشاهده شده دارای داده های قابل قبولی بودند و نانوذرات می توانند وسیله ای مناسبی برای تحویل داروهایی با وزن مولکولی کم و نیز ماکرومولکول های بزرگ مانند پروتئین نوترکیب PA63 باشند.

### تشکر و قدردانی

بدین وسیله از تمام اساتید و دانشجویان مرکز علم و فناوری زیست شناسی دانشگاه جامع امام حسین (ع) صمیمانه تشکر و قدردانی می نماید.

### مشارکت نویسندها:

ح.ه: ایده اولیه و طراحی مطالعه؛ م.ا.م: بررسی مقالات و مطالعات آماری. تمام نویسندها در ویرایش و بازخوانی و بررسی نهایی مشارکت داشته اند.

### کد اخلاق:

IR.IHU.REC.1399.065

### تضاد منافع:

نویسندها اظهار داشتند که فاقد هرگونه تضاد منافع هستند.

### حملات مالی / معنوی:

بودجه پژوهشی این طرح توسط دانشگاه جامع امام حسین (ع) تأمین شده است.

### بازیابی داده ها:

مجموعه داده ارائه شده در مطالعه با درخواست از نویسنده مربوطه در حین ارسال یا پس از انتشار در دسترس است.

<https://doi.org/10.1016/j.nano.2005.12.003>.

12. Honari H, Mojtabaaghie S, Hoseinzadeh M. [C-CfTXA-STxB chimeric antigen loading in PLA-PEG-PLA tri-block copolymers and its immunization in mice]. *Koomesh*. 2022;24(4):e152763. Persian.
13. Houchin ML, Topp EM. Chemical degradation of peptides and proteins in PLGA: a review of reactions and mechanisms. *J Pharm Sci*. 2008;97(7):2395-404. [PubMed ID:17828756]. <https://doi.org/10.1002/jps.21176>.
14. Lu JM, Wang X, Marin-Muller C, Wang H, Lin PH, Yao Q, et al. Current advances in research and clinical applications of PLGA-based nanotechnology. *Expert Rev Mol Diagn*. 2009;9(4):325-41. [PubMed ID:19435455]. [PubMed Central ID:PMC2701163]. <https://doi.org/10.1586/erm.09.15>.
15. Cun D, Jensen DK, Maltesen MJ, Bunker M, Whiteside P, Scull D, et al. High loading efficiency and sustained release of siRNA encapsulated in PLGA nanoparticles: quality by design optimization and characterization. *Eur J Pharm Biopharm*. 2011;77(1):26-

35. [PubMed ID:21093589]. <https://doi.org/10.1016/j.ejpb.2010.11.008>.
16. Freitas S, Merkle HP, Gander B. Microencapsulation by solvent extraction/evaporation: reviewing the state of the art of microsphere preparation process technology. *J Control Release*. 2005;102(2):313-32. [PubMed ID:15653154]. <https://doi.org/10.1016/j.jconrel.2004.10.015>.
17. Sahoo SK, Panyam J, Prabha S, Labhasetwar V. Residual polyvinyl alcohol associated with poly (D,L-lactide-co-glycolide) nanoparticles affects their physical properties and cellular uptake. *J Control Release*. 2002;82(1):105-14. [PubMed ID:12106981]. [https://doi.org/10.1016/s0168-3659\(02\)00127-x](https://doi.org/10.1016/s0168-3659(02)00127-x).
18. Eldridge JH, Hammond CJ, Meulbroek JA, Staas JK, Gilley RM, Tice TR. Controlled vaccine release in the gut-associated lymphoid tissues. I. Orally administered biodegradable microspheres target the peyer's patches. *J Controlled Release*. 1990;11(1-3):205-14. [https://doi.org/10.1016/0168-3659\(90\)90133-e](https://doi.org/10.1016/0168-3659(90)90133-e).
19. Norris DA, Puri N, Sinko PJ. The effect of physical barriers and properties on the oral absorption of particulates. *Adv Drug Deliv Rev*. 1998;34(2-3):135-54. [PubMed ID:10837675]. [https://doi.org/10.1016/s0169-409x\(98\)00037-4](https://doi.org/10.1016/s0169-409x(98)00037-4).
20. Halayqa M, Domanska U. PLGA biodegradable nanoparticles containing perphenazine or chlorpromazine hydrochloride: effect of formulation and release. *Int J Mol Sci*. 2014;15(12):23909-23. [PubMed ID:25535080]. [PubMed Central ID:PMC4284797]. <https://doi.org/10.3390/ijms151223909>.
21. Nazarian S, Gargari SL, Rasooli I, Hasannia S, Pirooznia N. A PLGA-encapsulated chimeric protein protects against adherence and toxicity of enterotoxigenic Escherichia coli. *Microbiol Res*. 2014;169(2-3):205-12. [PubMed ID:23906742]. <https://doi.org/10.1016/j.micres.2013.06.005>.
22. Diwan M, Tafaghodi M, Samuel J. Enhancement of immune responses by co-delivery of a CpG oligodeoxynucleotide and tetanus toxoid in biodegradable nanospheres. *J Control Release*. 2002;85(1-3):247-62. [PubMed ID:12480329]. [https://doi.org/10.1016/s0168-3659\(02\)00275-4](https://doi.org/10.1016/s0168-3659(02)00275-4).
23. Honari H, Minaei M, Mirhaj H, Etemad-Ayoubi SM. [Antibody titers of PEG-PLA block copolymer nanosphere containing chimeric recombinant protein of protective antigen and lethal factor of Bacillus anthracis]. *Koomesh*. 2021;23(4):441-8. Persian. <https://doi.org/10.52547/koomesh.23.4.441>.
24. Thomas C, Rawat A, Hope-Weeks L, Ahsan F. Aerosolized PLA and PLGA nanoparticles enhance humoral, mucosal and cytokine responses to hepatitis B vaccine. *Mol Pharm*. 2011;8(2):405-15. [PubMed ID:21189035]. <https://doi.org/10.1021/mp100255c>.
25. Bershteyn A, Hanson MC, Crespo MP, Moon JJ, Li AV, Suh H, et al. Robust IgG responses to nanograms of antigen using a biomimetic lipid-coated particle vaccine. *J Control Release*. 2012;157(3):354-65. [PubMed ID:21820024]. [PubMed Central ID:PMC3811132]. <https://doi.org/10.1016/j.jconrel.2011.07.029>.
26. Danhier F, Ansorena E, Silva JM, Coco R, Le Breton A, Preat V. PLGA-based nanoparticles: an overview of biomedical applications. *J Control Release*. 2012;161(2):505-22. [PubMed ID:22353619]. <https://doi.org/10.1016/j.jconrel.2012.01.043>.

## Research Article

## Investigating the Immunogenicity of PA63 Antigen in Free Form and Loaded in PLGA Nanoparticle in Mice

Hossein Henari<sup>1,\*</sup>, Mohammad Ebrahim Minaei<sup>1</sup>

<sup>1</sup>Faculty of Basic Science, Imam Hossein Comprehension University, Tehran, Iran

\*Corresponding author: Faculty of Basic Science, Imam Hossein Comprehension University, Tehran, Iran. Email: honari.hosein@gmail.com.

Received 20/09/2023; Accepted 01/06/2024

### Abstract

**Background:** So far, an ideal vaccine for anthrax has not been approved. PA63 antigen has antigenic properties, and scientists use this antigen to produce new generations of vaccines. The main aim of this research is to investigate the ability to produce antibodies and immunogenicity of PA63 recombinant antigen-loaded in PLGA nanoparticles in mice as a potential vaccine candidate.

**Methods:** In this experimental study, the vector containing the PA63 gene was introduced into DE3 BL21 E. coli bacteria, and their transformation and protein expression levels were evaluated by PAGE-SDS. After purifying the recombinant proteins with column chromatography, the recombinant proteins were loaded in PLGA polymer and injected into mice three times in a row to study immunogenicity.

**Results:** The size and zeta potential of nanoparticles containing nanoparticles containing PA63 protein were measured as 261.9 nm and 34.4- mV. Electron photographs of nanoparticles show the spherical shape of nanoparticles and the correct size and zeta potential. The mean antibody titer produced against PA63 recombinant protein was increased in the loaded form compared to the free one.

**Conclusion:** In this research, due to the advantages of nanoparticle systems in reducing possible protein risks and also the possibility of increasing its immunogenicity as new delivery systems of protein vaccines, nanoparticles based on natural and synthetic polymers containing PA63 protein were used. PLGA nanoparticles with different characteristics in terms of different physicochemical properties, release patterns, synthesis methods, and loading rates were studied to determine the best form of polymer for protein loading.

**Keywords:** Anthrax, Nanoparticles, PLGA, Recombinant Proteins, Immunogenicity, Vaccine